

Центральноукраїнський національний технічний університет

Факультет будівництва, транспорту та енергетики

Кафедра «Електротехнічні системи та енергетичний менеджмент»

“Допущено до захисту”

Зав. кафедри ЕТС та ЕМ

канд. техн. наук, професор

Петро ПЛІШКОВ

“ ____ ” _____ 2025 р.

КВАЛІФІКАЦІЙНА РОБОТА

ЗА ПЕРШИМ (БАКАЛАВРСЬКИМ) РІВНЕМ

ВИЩОЇ ОСВІТИ

на тему:

«Проектування електротехнічної системи електроспоживання цементного заводу»

Виконав здобувач вищої освіти

IV курсу, групи ЕЕ–21,

ОПП «Електроенергетика,

електротехніка та електромеханіка»

спеціальності 141 «Електроенергетика,

електротехніка та електромеханіка»

Владислав КРИКОТНЕНКО

« ____ » _____ 2025 р.

Керівник роботи

професор, канд. техн. наук

Лариса ВІХРОВА

« ____ » _____ 2025 р.

Рецензент _____

м. Кропивницький

Центральноукраїнський національний технічний університет

Факультет будівництва, транспорту та енергетики

Кафедра електротехнічних систем та енергетичного менеджменту

Рівень вищої освіти перший (бакалаврський)

Галузь знань 14 «Електрична інженерія»

Спеціальність 141 «Електроенергетика, електротехніка та електромеханіка»

Освітньо-професійна програма «Електроенергетика, електротехніка та електромеханіка»

ЗАТВЕРДЖУЮ:

Завідувач кафедри ЕТС та ЕМ

_____ Петро ПЛІШКОВ

«_____» _____ 2025 р.

ЗАВДАННЯ НА КВАЛІФІКАЦІЙНУ РОБОТУ ЗА ПЕРШИМ (БАКАЛАВРСЬКИМ) РІВНЕМ ВИЩОЇ ОСВІТИ ЗДОБУВАЧА ВИЩОЇ ОСВІТИ

Крикотненка Владислава Геннадійовича

(прізвище, ім'я, по-батькові)

1. Тема роботи Проектування електротехнічної системи електроспоживання цементного заводу

Design of the electrical system for electricity consumption of a cement plant

2. Керівник роботи Віхрова Лариса Григорівна, канд. техн. наук, професор

(прізвище, ім'я, по-батькові, науковий ступінь, вчене звання)

3. Строк подання роботи до захисту 03.06.2025 р.

4. Мета та завдання кваліфікаційної роботи. Метою роботи є розробка системи електропостачання цементного заводу. Для досягнення поставленої мети роботи необхідно вирішити наступні завдання: 1. Провести розрахунок електричних навантажень. 2. Провести розрахунок картограми електричних навантажень. 3. Здійснити техніко-економічне обґрунтування вибору схем електропостачання. 4. Провести розрахунок режимів реактивної потужності системи електропостачання. 5. Здійснити вибір кількості та потужності трансформаторів підприємства. 6. Провести розрахунок струмів коротких замкнень та здійснити вибір високовольтного обладнання. 7. Провести розрахунок спеціального розділу роботи.

5. Консультанти по роботі, із зазначенням розділів роботи

Розділ	Консультант	Підпис, дата	
		Завдання видав	Завдання прийняв
<i>Спеціальний розділ</i>	<i>доцент Н.Ю. Гарасьова</i>		

КАЛЕНДАРНИЙ ПЛАН

№ з/п	Назва етапів кваліфікаційної роботи	Строк виконання етапів роботи	Примітка
1	<i>Розрахунок електричних навантажень</i>	<i>03.02-19.02</i>	
2	<i>Картограма електричних навантажень</i>	<i>20.02-28.02</i>	
3	<i>Техніко-економічне обґрунтування вибору схем електропостачання</i>	<i>01.03-12.03</i>	
4	<i>Режими реактивної потужності системи електропостачання</i>	<i>13.03-01.04</i>	
5	<i>Вибір кількості та потужності трансформаторів підприємства</i>	<i>2.04-12.04</i>	
6	<i>Розрахунок струмів коротких замкнень та вибір високовольтного обладнання</i>	<i>13.05-01.05</i>	
7	<i>Спеціальний розділ</i>	<i>02.05-20.05</i>	
8	<i>Оформлення презентаційної частини БКР</i>	<i>21.05-26.05</i>	
9	<i>Оформлення пояснювальної записки БКР</i>	<i>27.05-02.06</i>	

Дата видачі завдання
«___» _____ 2025 р.

Підпис керівника _____

Лариса ВІХРОВА

Завдання прийнято до виконання
«___» _____ 2025 р.

Підпис здобувача _____

Владислав КРИКОТНЕНКО

АНОТАЦІЯ

Кваліфікаційна робота: 79 с.; 21 рис.; 26 табл.; 5 джерел

Криктенко В. Г. Проектування електротехнічної системи електроспоживання цементного заводу. – Рукопис.

Бакалаврська робота за спеціальністю 141 «Електроенергетика, електротехніка та електромеханіка», ОПП «Електроенергетика, електротехніка та електромеханіка». – Центральноукраїнський національний технічний університет, Кропивницький, 2025 рік.

Дана робота була присвячена розв'язанню завдання проектування комплексної системи енергозабезпечення для цементного виробництва.

У процесі виконання проекту було здійснено детальний аналіз електричних навантажень підприємства. Проведено обчислення основних параметрів графіків споживання електроенергії, що дозволило визначити пікові та базові режими роботи обладнання. Особлива увага приділялась дослідженню режимів реактивної потужності, оскільки цементні заводи характеризуються значним споживанням реактивної енергії через наявність великої кількості асинхронних двигунів та трансформаторів.

Додатково виконано комплексний аналіз можливих режимів короткого замикання в електричній мережі підприємства. Ці розрахунки є критично важливими для правильного вибору комутаційного обладнання та налаштування релейного захисту.

На підставі отриманих розрахунків було здійснено обґрунтований вибір всіх компонентів високовольтної електричної мережі виробництва.

Ключові слова: розрахункові навантаження, електрична мережа, графіки навантажень

ABSTRACT

Qualification work: 79 p.; 21 Fig.; 26 tables; 5 sources

Krykotnenko V. Design of the electrical system for electricity consumption of a cement plant. – Manuscript.

Bachelor's thesis on specialty 141 "Electric power engineering, electrical engineering and electromechanics", OPP "Electric power engineering, electrical engineering and electromechanics". – Central Ukrainian National Technical University, Kropyvnytskyi, 2025.

This work was devoted to solving the problem of designing a comprehensive power supply system for cement production.

During the project implementation, a detailed analysis of the electrical loads of the enterprise was carried out. The main parameters of the electricity consumption schedules were calculated, which made it possible to determine the peak and base operating modes of the equipment. Particular attention was paid to the study of reactive power modes, since cement plants are characterized by significant consumption of reactive energy due to the presence of a large number of asynchronous motors and transformers.

Additionally, a comprehensive analysis of possible short-circuit modes in the enterprise's electrical network was performed. These calculations are critically important for the correct selection of switching equipment and setting of relay protection.

Based on the obtained calculations, a reasonable selection of all components of the high-voltage electrical network of the production was made.

Keywords: design loads, electrical network, load graphs

ЗМІСТ

ВСТУП	7
РОЗДІЛ 1. РОЗРАХУНОК ЕЛЕКТРИЧНИХ НАВАНТАЖЕНЬ	8
1.1 Силові електричні навантаження до 1 кВ	8
1.2 Освітлювальні електричні навантаження.....	9
1.3 Силові електричні навантаження вище 1 кВ	10
1.4 Графіки електричних навантажень заводу	15
РОЗДІЛ 2. КАРТОГРАМА ЕЛЕКТРИЧНИХ НАВАНТАЖЕНЬ	20
РОЗДІЛ 3. ТЕХНІКО-ЕКОНОМІЧНЕ ОБҐРУНТУВАННЯ СХЕМ ЕЛЕКТРОПОСТАЧАННЯ ЗАВОДУ	22
3.1 Схема зовнішнього електропостачання.....	22
3.2 Схема внутрішнього електропостачання	25
РОЗДІЛ 4. РЕЖИМИ РЕАКТИВНОЇ ПОТУЖНОСТІ СИСТЕМИ ЕЛЕКТРОПОСТАЧАННЯ	27
4.1 Баланс реактивної потужності.....	27
4.2 Вибір кількості, потужності та місця встановлення компенсуючих пристроїв	28
РОЗДІЛ 5. ВИБІР КІЛЬКОСТІ ТА ПОТУЖНОСТІ ТРАНСФОРМАТОРІВ ПІДПРИЄМСТВА	31
РОЗДІЛ 6. РОЗРАХУНОК СТРУМІВ КОРОТКИХ ЗАМКНЕНЬ ТА ВИБІР ВИСОКОВОЛЬТНОГО ОБЛАДНАННЯ	32
6.1 Розрахунок струмів коротких замкнень	32
6.2 Вибір кабельних ліній напругою 10 кВ.....	39
6.3 Вибір електричних апаратів високої напруги.....	41
6.4 Вибір потужності та схем живлення трансформаторів власних потреб	42
РОЗДІЛ 7. СПЕЦІАЛЬНИЙ РОЗДІЛ. ДОСЛІДЖЕННЯ РЕЖИМІВ РОБОТИ СОНЯЧНОЇ ЕЛЕКТРОСТАНЦІЇ	44
7.1 Системи електропостачання з відновлюваними джерелами енергії	44
7.2 Класифікація інверторів для систем електропостачання з фотовольтаїчними модулями	57
7.3 Розробка й дослідження інверторних пристроїв для сонячних електростанцій	65
7.4 Комп'ютерне моделювання сонячної електростанції	72
ВИСНОВКИ	78
СПИСОК ВИКОРИСТАНИХ ДЖЕРЕЛ	79

					КВАЛІФІКАЦІЙНА РОБОТА ЗА ПЕРШИМ (БАКАЛАВРСЬКИМ) РІВНЕМ ВИЩОЇ ОСВІТИ					
Зм.	Арк.	№ докум.	Підпис	Дата						
Розроб.	Крикотенко В.				Проектування електротехнічної системи електроспоживання цементного заводу Design of the electrical system for electricity consumption of a cement plant			Літ.	Аркуш	Аркушів
Перев.	Віхрова Л.Г.							6	79	
Н. контр.	Віхрова Л.Г.				ЦНТУ					
Затвер.	Плешков П.Г.				зр. ЕЕ-21					

Таблиця 1.3. Силлові навантаження вище 1 кВ

Назва	N шт	P одн.сп.		P сум, кВт	m	K _в	cosφ	tgφ	Сер.зм. нав.		n еф	K _р	Розрах. навантаж.		
		мін, кВт	мак, кВт						P _{зм} , кВт	Q _{зм} , квар			P _{розр} , кВт	Q _{розр} , квар	S _{розр} , кВА
ТП, 2	2	3	4	5	6	7	8	9	10	11	12	13	14	15	16
Пічний цех (холодна половина)															
силове:	26	3	50	368	16,7	0,70	0,85	0,62	257,6	159,65	15	1,16	298,28	159,65	338,32
освітлювальне:									28,35				26,93	5,47	
Всього:									285,95	159,65			325,21	165,12	364,73
Пічний цех (гаряча половина)															
силове:	30	3	50	465	16,7	0,80	0,95	0,33	372	122,27	19	1,00	372	122,27	391,58
освітлювальне:									31,17				29,61	6,01	
Всього:									403,17	122,27			401,61	128,28	421,6
Склад клінкера															
силове:	10	2	25	150	12,5	0,30	0,70	1,02	45	45,91	10	1,62	72,95	50,5	88,72
освітлювальне:									21,79				20,7	4,2	
Всього:									66,79	45,91			93,65	54,7	108,45
Автогараж															
силове:	4	1	10	15	10,0	0,40	0,70	1,02	6	6,12	3	2,10	12,62	6,73	14,3
освітлювальне:									7,82				7,43	1,51	
Всього:									13,82	6,12			20,05	8,24	21,68
Заводу управління															
силове:	8	2	8	50	4,0	0,75	0,90	0,48	37,5	18,16	8	1,18	44,12	19,98	48,43
освітлювальне:									16,27				15,46	3,14	
Всього:									53,77	18,16			59,58	23,12	63,91
Ідальня															
силове:	12	2	6	56	3,0	0,60	0,90	0,48	33,6	16,27	12	1,26	42,27	16,27	45,29
освітлювальне:									5,26				5	1,02	
Всього:									38,86	16,27			47,27	17,29	50,33
Сушильне відділення															
силове:	18	20	75	423	3,7	0,60	0,80	0,75	253,8	190,35	11	1,27	322,79	190,35	374,74
освітлювальне:									60,78				57,74	11,72	
Всього:									314,58	190,35			380,53	202,07	430,85

Продовження табл. 1.3

1	2	3	4	5	6	7	8	9	10	11	12	13	14	15	16
Територія заводу															
освітлювальне:									8,59				8,59	1,74	
Всього:									8,59	0			8,59	1,74	8,76
Всього по ТПШ, 2:															
силове:	108	1	75	1527	75,0	0,66	0,87	0,56	1005,5	558,73	41	1,10	1110,78	558,73	1243,39
освітлювальне:									180,03				171,46	34,81	
БК 0,4 кВ										-450				-450	
Всього 0,4 кВ ТПШ, 2:									1185,53	108,73			1282,24	143,54	1290,25
Втрати в ТП:													15,67	117,73	
№тр: 3 шт.															
Стр, кВА: 630															
Кз = 0,68															
Всього 10 кВ ТПШ, 2:													1297,91	261,27	1323,94
ТПШ															
Матеріальний склад															
силове:	16	3	50	165	16,7	0,55	0,85	0,62	90,75	56,24	7	1,41	128,38	61,86	142,51
освітлювальне:									21,17				20,11	4,08	
Всього:									111,92	56,24			148,49	65,94	162,47
Відділення цементних млинів															
силове:	15	20	100	480	5,0	0,70	0,75	0,88	336	296,32	10	1,20	403,65	325,95	518,82
освітлювальне:									34,78				33,04	10,87	
Всього:									370,78	296,32			436,69	336,82	551,49
Цементні силоси															
силове:	17	5	40	235	8,0	0,30	0,70	1,02	70,5	71,92	12	1,56	109,71	71,92	131,18
освітлювальне:									39,74				37,75	7,66	
Всього:									110,24	71,92			147,46	79,58	167,56
Насосна															
силове:	4	28	28	112	1,0	0,60	0,70	1,02	67,2	68,56	4	1,53	102,62	75,42	127,35
освітлювальне:									7,78				4,67	0,95	
Всього:									74,98	68,56			107,29	76,37	131,69
Всього по ТПЗ:															

Продовження табл. 1.3

1	2	3	4	5	6	7	8	9	10	11	12	13	14	15	16
силове:	52	3	100	992	33,3	0,57	0,75	0,87	564,45	493,04	20	1,21	682,32	493,04	841,81
освітлювальне:									103,47				95,57	23,56	
БК 0,4 кВ										-200				-200	
Всього 0,4 кВ ТПЗ:									667,92	293,04			777,89	316,6	839,85
Втрати в ТП:													10,11	76,71	
№пр: 2 шт.															
Стр, кВА: 630															
Кз = 0,67															
Всього 10 кВ ТПЗ:													788	393,31	880,7
ТП4, 5															
Склад сировини															
силове:	5	8	20	270	2,5	0,25	0,65	1,17	67,5	78,92	5	2,12	142,79	86,81	167,11
освітлювальне:									8,16				7,75	1,57	
Всього:									75,66	78,92			150,54	88,38	174,57
Відділення сировинних млинів															
силове:	50	10	50	2100	5,0	0,70	0,75	0,88	1470	1296,42	50	1,08	1586,54	1296,42	2048,86
освітлювальне:									30,24				28,73	5,83	
Всього:									1500,24	1296,42			1615,27	1302,25	2074,84
Всього по ТП4, 5:															
силове:	55	8	50	2370	6,2	0,65	0,75	0,89	1537,5	1375,34	55	1,09	1678,81	1375,34	2170,24
освітлювальне:									38,4				36,48	7,4	
БК 0,4 кВ										-1250				-1250	
Всього 0,4 кВ ТП4, 5:									1575,9	125,34			1715,29	132,74	1720,42
Втрати в ТП:													20,89	156,99	
№пр: 4 шт.															
Стр, кВА: 630															
Кз = 0,68															
Всього 10 кВ ТП4, 5:													1736,18	289,73	1760,19
Всього по об'єкту															
силове:	215	1	100	4889	100	0,64	0,99	0,17	3107,45	527,11	98	1,07	3323,87	527,11	3365,41
освітлювальне:									321,9				303,51	65,77	
Всього:									3429,35	527,11			3627,38	592,88	3675,51
Потужність КП 0,4 кВ:										-1900				-1900	

Продовження табл. 1.3

1	2	3	4	5	6	7	8	9	10	11	12	13	14	15	16
Втрати в ТП:													46,67	351,43	
Всього по об'єкту:													3674,05	944,31	3793,46
Високовольтне навантаження															
АДЛ, 2	2	600	600	1200		0,7	0,9	0,48	840	406,83			840	406,83	933,33
Всього високовольтного навантаження:													840	406,83	933,33
Всього по об'єкту 10 кВ:													4514,05	1351,14	4711,92
КП 10 кВ:														-900	
Всього 10 кВ з КП:													4514,05	451,14	4536,54
tgφ = 0,1															

1.4 Графіки електричних навантажень заводу

Результати розрахунків графіків ел. навантажень наведено нижче.

Таблиця 1.4. Дані для розрахунку параметрів графіків

№	Роб. дні		Вих.дні	
	<i>P</i> , %	<i>Q</i> , %	<i>P</i> , %	<i>Q</i> , %
1	50	42	40	70
2	35	34	40	70
3	37	42	40	70
4	37	41	40	70
5	56	55	40	70
6	56	47	40	70
7	89	61	40	70
8	87	74	40	70
9	100	100	20	51
10	100	100	20	51
11	94	71	20	51
12	80	62	20	51
13	92	75	20	51
14	100	73	20	51
15	100	78	20	51
16	95	68	20	51
17	91	77	20	51
18	80	60	40	70
19	52	41	40	70
20	57	57	40	70
21	41	46	40	70
22	46	44	40	70
23	54	47	40	70
24	52	49	40	70

Таблиця 1.5. Результати розрахунків доб. графіків

№	Зим. дні						Літн. дні					
	Роб. дні			Вих.і дні			Роб. дні			Вих.і дні		
	$P_{д}$, кВт	$Q_{д}$, квар	$S_{д}$, кВА	$P_{д}$, кВт	$Q_{д}$, квар	$S_{д}$, кВА	$P_{д}$, кВт	$Q_{д}$, квар	$S_{д}$, кВА	$P_{д}$, кВт	$Q_{д}$, квар	$S_{д}$, кВА
1	2256	284	2274	1805	474	1866	1918	242	1933	1534	403	1586
2	1580	230	1597	1805	474	1866	1343	196	1357	1534	403	1586
3	1670	284	1694	1805	474	1866	1419	242	1439	1534	403	1586
4	1670	278	1693	1805	474	1866	1419	236	1438	1534	403	1586
5	2527	372	2554	1805	474	1866	2148	316	2171	1534	403	1586
6	2527	318	2547	1805	474	1866	2148	270	2165	1534	403	1586
7	4017	413	4038	1805	474	1866	3414	351	3432	1534	403	1586
8	3926	501	3958	1805	474	1866	3337	426	3364	1534	403	1586
9	4513	677	4563	903	345	967	3836	575	3879	767	293	821
10	4513	677	4563	903	345	967	3836	575	3879	767	293	821
11	4242	481	4269	903	345	967	3606	409	3629	767	293	821
12	3610	420	3634	903	345	967	3069	357	3090	767	293	821
13	4152	508	4183	903	345	967	3529	432	3555	767	293	821
14	4513	494	4540	903	345	967	3836	420	3859	767	293	821
15	4513	528	4544	903	345	967	3836	449	3862	767	293	821
16	4287	460	4312	903	345	967	3644	391	3665	767	293	821
17	4107	521	4140	903	345	967	3491	443	3519	767	293	821
18	3610	406	3633	1805	474	1866	3069	345	3088	1534	403	1586
19	2347	278	2363	1805	474	1866	1995	236	2009	1534	403	1586
20	2572	386	2601	1805	474	1866	2187	328	2211	1534	403	1586
21	1850	311	1876	1805	474	1866	1573	265	1595	1534	403	1586
22	2076	298	2097	1805	474	1866	1765	253	1783	1534	403	1586
23	2437	318	2458	1805	474	1866	2071	270	2089	1534	403	1586
24	2347	332	2370	1805	474	1866	1995	282	2015	1534	403	1586

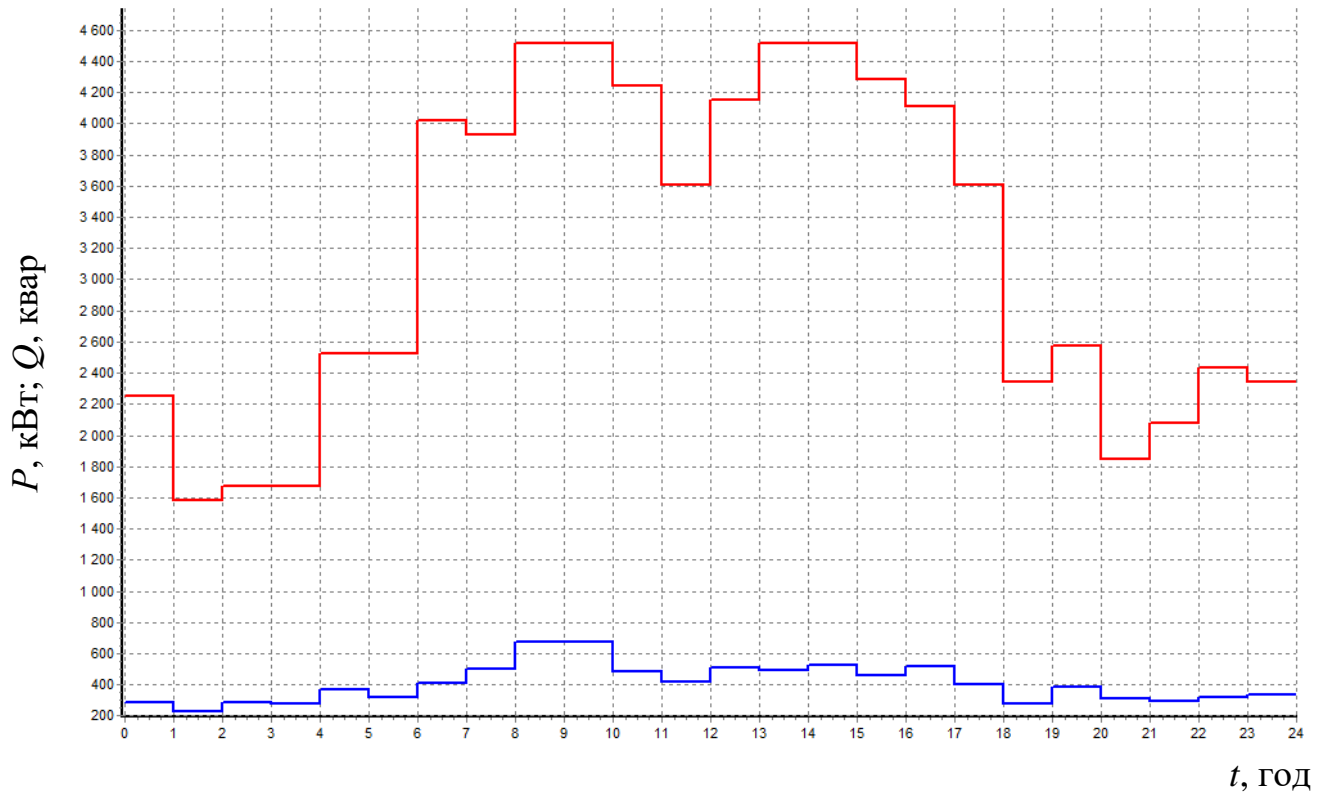


Рис. 1.1. Добові графіки (з. р.)

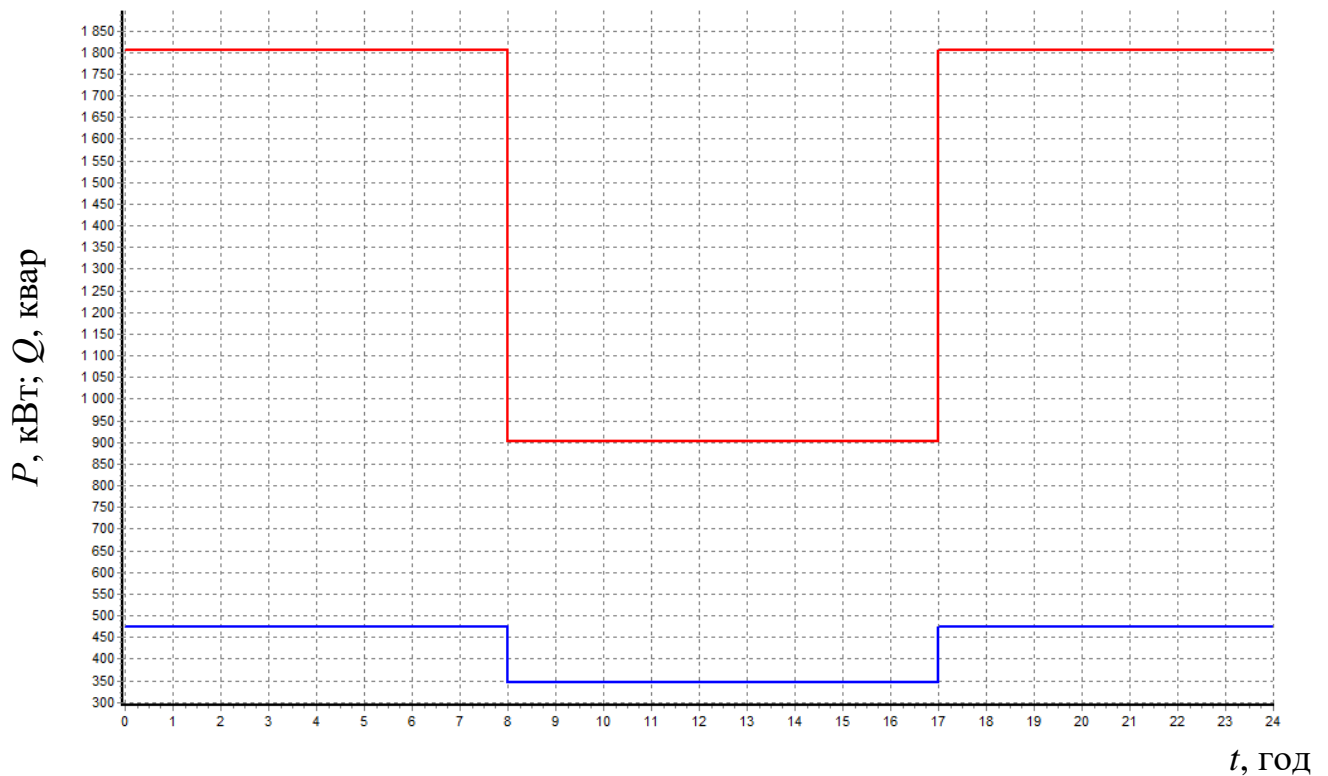


Рис. 1.2. Добові графіки активн. (з.в.)

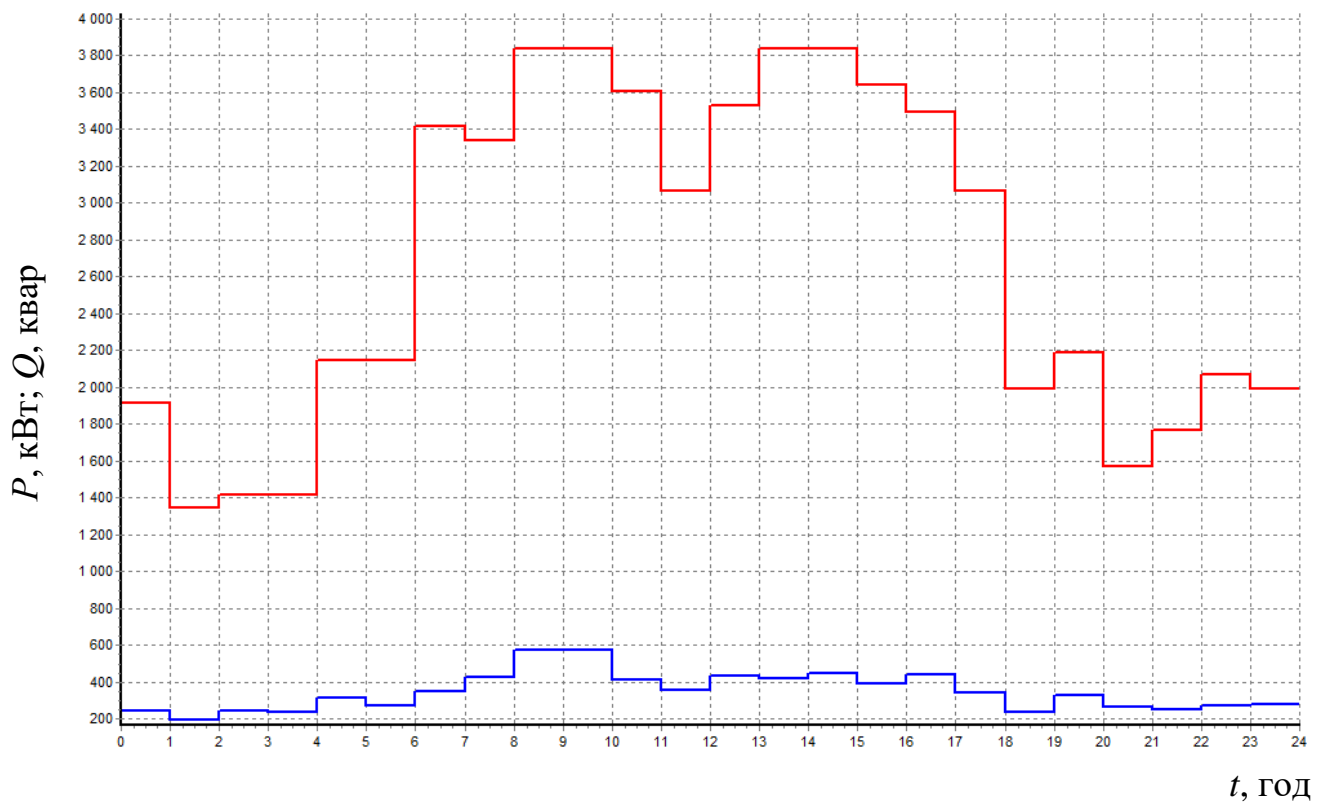


Рис. 1.3. Добові графіки (л.р.)

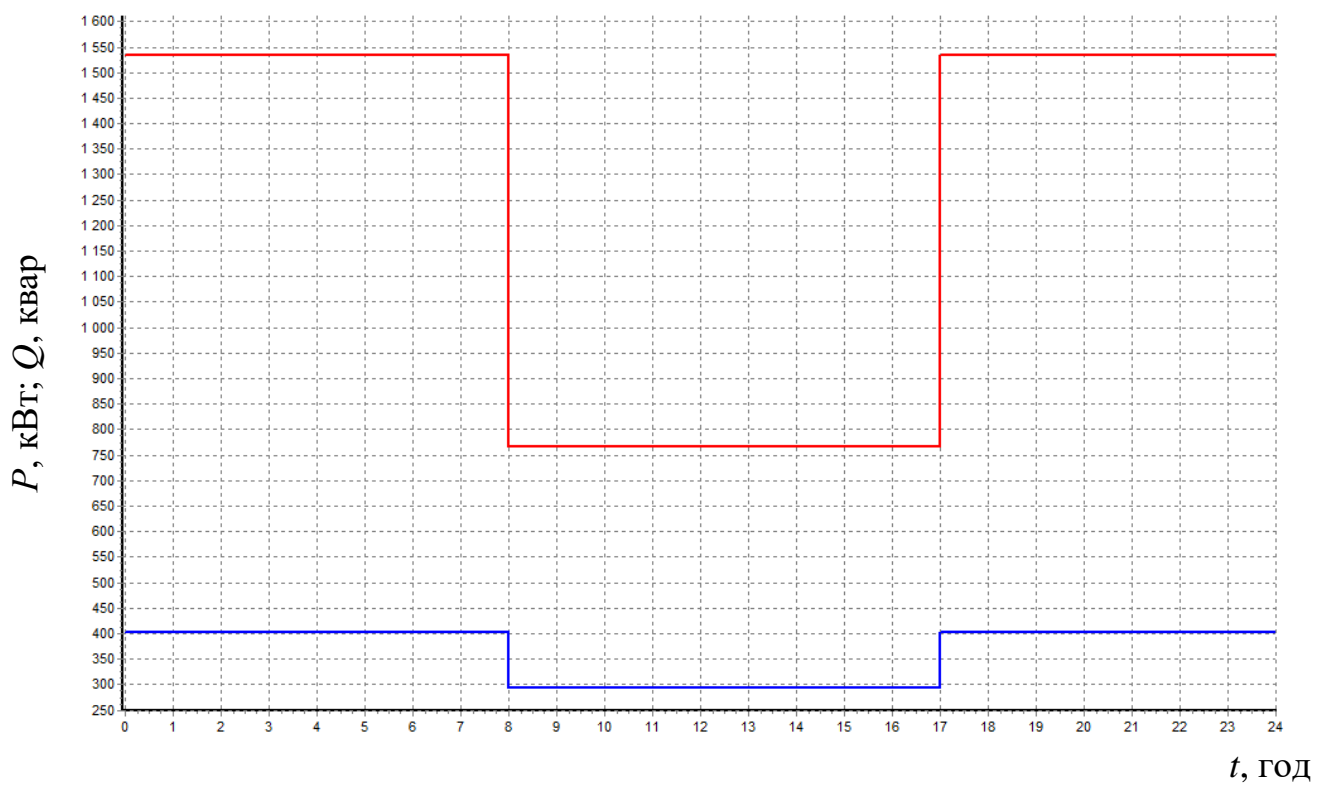


Рис. 1.4 Добові графіки (л.в.)

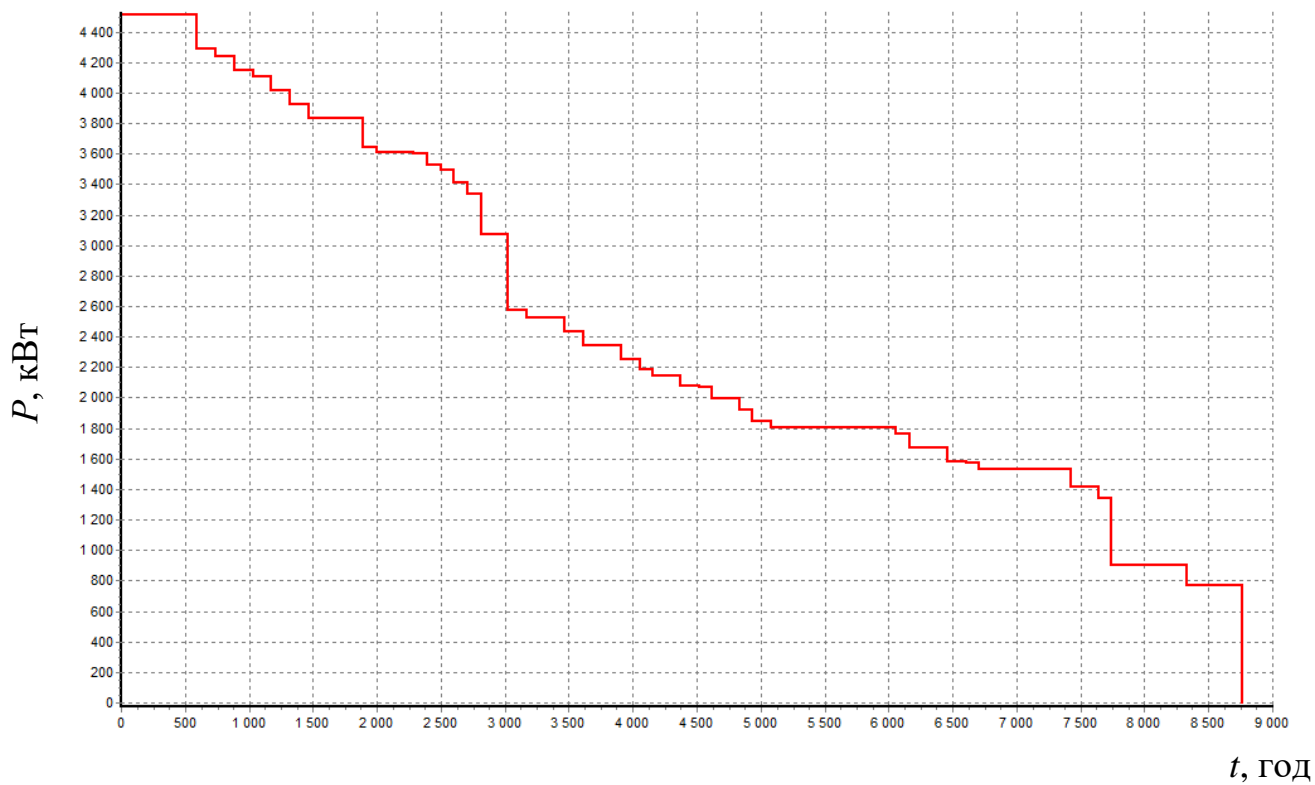


Рис. 1.5. Річний графік за тривалістю (P)

Таблиця 1.6. Результати розрах. параметрів графіків

№	Назва параметру	Знач.	Од. вим.
1	$S_{розр}$	4563,5	МВА
2	$W_{з.р.}$	11151714	кВт·год
3	$V_{з.р.}$	1436925	квар·год
4	$W_{з.в.}$	2288130	кВт·год
5	$V_{з.в.}$	663975	квар·год
6	$W_{л.р.}$	6770820	кВт·год
7	$V_{л.р.}$	872445	квар·год
8	$W_{л.в.}$	1435824	кВт·год
9	$V_{л.в.}$	416736	квар·год
10	$W_{річн.}$	21646488	кВт·год
11	$V_{річн.}$	3390081	квар·год
12	T_m	4801	год
13	τ_m	3197	год

РОЗДІЛ 2

КАРТОГРАМА ЕЛЕКТРИЧНИХ НАВАНТАЖЕНЬ

Розрахунок картограми пічного цеху:

$$R_1 = \sqrt{\frac{P_{\text{осв}} + P_{\text{силл}}}{\pi m}} = \sqrt{\frac{298 + 27}{3,14 \cdot 0,2}} = 22,7 \text{ мм}$$

$$\alpha = \frac{P_{\text{осв}} \cdot 360}{P_{\text{силл}} + P_{\text{осв}}} = \frac{27 \cdot 360}{298 + 27} = 29,8^\circ$$

Розрахунок для інших цехів приведено в таблиці 2.1.

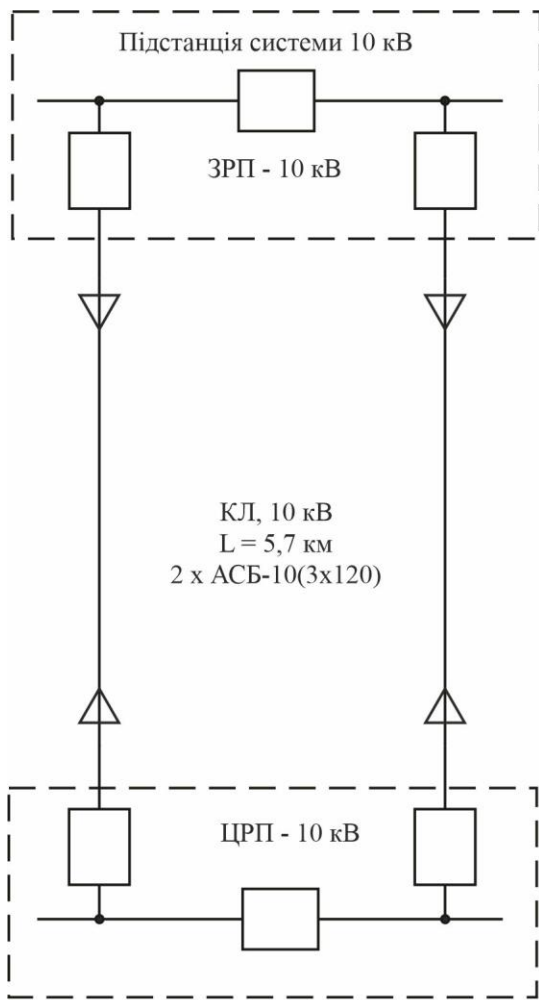
Центр електричних навантажень:

$$X = \frac{\sum_{j=1}^m X_j P_j}{\sum_{j=1}^m P_j} = \frac{457898,37}{4782,23} = 95,75 \text{ м}$$

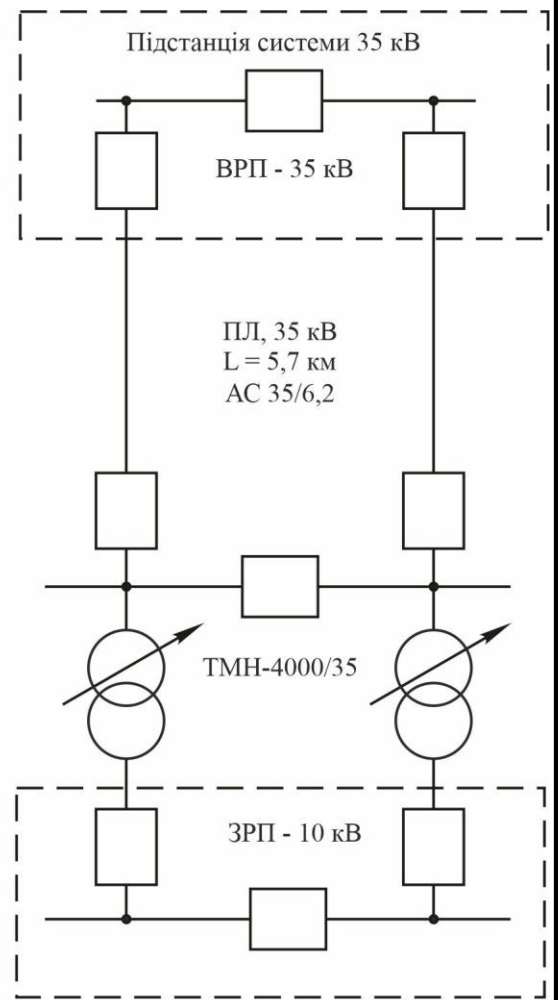
$$Y = \frac{\sum_{j=1}^m Y_j P_j}{\sum_{j=1}^m P_j} = \frac{219998,33}{4782,23} = 46 \text{ м}$$

Таблиця 2.1. Картограма ел. навантажень

№	Назва цеху	$P_{\text{спр}}, \text{кВт}$	$P_{\text{осв}}, \text{кВт}$	$P_1, \text{кВт}$	m	$R, \text{мм}$	$\alpha, \text{град}$	$x, \text{м}$	$y, \text{м}$	$P_1 \cdot x, \text{кВт} \cdot \text{м}$	$P_1 \cdot y, \text{кВт} \cdot \text{м}$
1.	Пічний цех (холодна половина)	298	27	325,21	0,2	22,75	29,81	17,00	132,00	5528,57	42927,72
2.	Пічний цех (гаряча половина)	372	30	401,61	0,2	25,28	26,54	152,00	132,00	61044,72	53012,52
3.	Матеріальний склад	128	20	148,49	0,2	15,37	48,75	69,00	11,00	10245,81	1633,39
4.	Склад сировини	143	8	150,54	0,2	15,48	18,53	158,00	7,00	23785,32	1053,78
5.	Відділення сировинних млинів										
	а) 0,4 кВ	1587	29	1615,27	0,2	50,70	6,40	115,00	12,00	185756,05	19383,24
	б) 10,5 кВ (АД)	840	0	840,00	0,2	36,56	0,00	115,00	12,00	96600,00	10080,00
6.	Склад клінкера	73	21	93,65	0,2	12,21	79,57	12,00	104,00	1123,80	9739,60
7.	Відділення цементних млинів	404	33	436,69	0,2	26,36	27,24	16,00	49,00	6987,04	21397,81
8.	Сушильне відділення	323	58	380,53	0,2	24,61	54,62	88,00	112,00	33486,64	42619,36
9.	Цементні силоси	110	38	147,46	0,2	15,32	92,16	24,00	16,00	3539,04	2359,36
10.	Насосна	103	5	107,29	0,2	13,07	15,67	85,00	49,00	9119,65	5257,21
11.	Автогараж	13	7	20,05	0,2	5,65	133,41	162,00	49,00	3248,10	982,45
12.	Заводоуправління	44	15	59,58	0,2	9,74	93,41	162,00	104,00	9651,96	6196,32
13.	Їдальня	42	5	47,27	0,2	8,67	38,08	137,00	47,00	6475,99	2221,69
14.	Територія заводу	0	9	8,59	0,2	3,70	360,00	152,00	132,00	1305,68	1133,88
	Всього по заводу	4479	304	4782,23						457898,37	219998,33



а)



б)

Рис. 3.1. Схеми зовн. електропостач.

$$K_{\text{зав}} = \frac{I_p}{I_{\text{доп}}} = \frac{131,8}{240} = 0,55$$

$$\Delta P_{\text{л}} = \Delta P_{\text{1км}} l_{\text{сум}} K_{\text{зав}}^2 = 18 \cdot 11,4 \cdot 0,3025 = 62,07 \text{ кВт}$$

$$\Delta W_{\text{кл}} = \Delta P_{\text{кл}} \tau = 62,07 \cdot 3196,85 = 198428,48 \text{ кВт}\cdot\text{год.}$$

$$C_{\text{втр.кл}} = \Delta W_{\text{сум}} C_0 = 198428,48 \cdot 8,87 \cdot 0,001 = 1760,06 \text{ тис.грн}$$

Таблиця 3.1. Розрахунок капвкладень

№	Назва	Од.	К-сть	Вартість	Всього
1	КЛ 10 кВ	км	11,4	50	570
2	Траншея	км.	5,7	14,3	81,51
3	Шафи КРП	шт.	2	10,7	21,4
Всього					932,71

Таблиця 3.2. Поточні витрати

№	Назва	K_j	P_{aj}	C_{aj}	P_{ej}	C_{ej}	C_j
1	КЛ 10 кВ	570	5	28,5	5	28,5	57
2	Траншея	81,51	5	4,0755	5	4,0755	8,151
3	Шафи КРП	21,4	15	3,21	5	1,07	4,28
Всього							69,43

Розрахунок збитку від недовідпуску електроенергії наведено нижче.

$$\lambda = \sum_{i=1}^n \lambda_i = 0,004 + 0,456 = 0,46 \text{ 1/рік}$$

$$T_{\text{відн}} = \frac{\sum \lambda_i T_{\text{відн},i}}{\lambda} = \frac{(0,004 \cdot 0,00045 + 0,456 \cdot 0,000399)}{0,46} = 0,00039944 \text{ рік}$$

$$K_{\text{пр}} = 1,2K_{\text{прmax}} = 1,2 \cdot 0,002 = 0,0024$$

$$K_{\text{а.п}} = \lambda T_{\text{відн}} = 0,46 \cdot 0,00039944347826087 = 0,000183744$$

$$K_{\text{а.пр}} = 0,5\lambda K_{\text{пр}}^2 = 0,5 \cdot 0,46 \cdot 0,00000576 = 0,0000013248$$

$$K_{\text{а.пр}}^{(2)} = K_{\text{а.п}}^2 + 2K_{\text{а.пр}} = 0,00000003376186 + 2 \cdot 0,0000013248 = 0,0000026834$$

Таблиця 4.4. Результати вибору КП ($N_T = 11$ шт.)

№ ТП	К-сть тр.	$P_{розр}$, кВт	$Q_{розр}$, квар	$Q_{проп}$, квар	$Q_{комп}$, квар	К-сть та потужн. батарей конд., шт. · кВАр	$Q_{БКсум}$, квар	$Q_{кп} - Q_{БК}$, квар	$K_{зав}$	$S_{розр}$, кВА
1,2	5	2420,54	2222,84	2528,04	0		0	0	0,66	3286,34
3,4,5,6	9	5449,87	4077,1	3160,52	916,58	8·100; 1·112,5;	912,5	4,08	0,7	6302,045
7	2	1244,49	790,6	641,28	149,32	2·67;	134	15,32	0,7	1407,082

БК 0,4 кВ: 400 квар.; БК. 10 кВ: 2250 квар.

Втрати потужності:

$$\Delta P_{БКН} = P_{ТП}^{БКН} \cdot Q_{БКН} = 0,0045 \cdot 1900 = 8,55 \text{ кВт}$$

$$\Delta P_{БКВ} = P_{ТП}^{БКВ} \cdot Q_{БКВ} = 0,003 \cdot 900 = 2,7 \text{ кВт}$$

$$\Delta P_T = \frac{P_H^2 + Q_1^2}{U_{НОМ}^2} R_{ТР} \cdot 10^{-3} = \frac{3942^2 + 462,17^2}{10^2} \cdot 0,18 \cdot 0,001 = 28,36 \text{ кВт}$$

Вартість КП:

$$K_{БКН} = \sum_{i=1}^n N_{БКНi} K_{БКНi} = 2 \cdot 26,46 + 4 \cdot 28,08 + 3 \cdot 33,93 + 4 \cdot 38,34 = 420,39 \text{ тис.грн.}$$

$$K_{БКВ} = \sum_{i=1}^n N_{БКВи} K_{БКВи} = 2 \cdot 116,0064 = 232,01 \text{ тис.грн}$$

Вартість ТП:

$$K_{ТП} = N_{ТП2} K_{ТП2} + N_{ТП1} K_{ТП1} = 4 \cdot 6380 + 1 \cdot 3375 = 28895 \text{ тис.грн.}$$

РОЗДІЛ 5

ВИБІР КІЛЬКОСТІ ТА ПОТУЖНОСТІ ТРАНСФОРМАТОРІВ ПІДПРИЄМСТВА

Вибір силового трансформатора ТП-1:

$$K_{зав} = \frac{S_{розр}}{n_{тр} S_{ном тр}} = \frac{882,45}{2 \cdot 630} = 0,7$$

$$S_{ном тр} = 2 \cdot 630 = 1260 \geq \frac{S_{розр}}{K_1} = \frac{882,45}{1,08} = 817$$

$$S_{ном тр} = 630 \geq \frac{S_{розр}}{K_2} = \frac{882,45}{1,4} \approx 630$$

Вибір інших трансформаторів наведено в табл. 5.1.

Таблиця 5.1. Результати вибору цехових трансформаторів

№	К-сть тр.	S _{розр} , кВА	K _{зав}	S _{ном} > S _{розр} /K ₁	S _{ном} > S _{розр} /K ₂
ТП-1	2	882,45	0,70	817	630
ТП-2	1	441,22	0,70	409	315
ТП-3	2	877,54	0,70	813	627
ТП-4	2	880,01	0,70	815	629
ТП-5	2	880,01	0,70	815	629

РОЗДІЛ 6

РОЗРАХУНОК СТРУМІВ КОРОТКИХ ЗАМКНЕНЬ ТА ВИБІР ВИСОКОВОЛЬТНОГО ОБЛАДНАННЯ

6.1 Розрахунок струмів коротких замкнень

Розрахункова схема та схема заміщення мережі наведені на рис. 6.1, 6.2.

Опори елементів мережі:

$$X_c = \frac{U_c^2}{S_{к.з.}} = \frac{10,5^2}{100} = 1,103 \text{ Ом}$$

$$R_c = \frac{X_c}{25} = \frac{1,103}{25} = 0,044 \text{ Ом}$$

$$R_{кл} = \frac{i_0 \cdot l}{n_{кл}} = \frac{0,258 \cdot 5,7}{1} = 1,4706 \text{ Ом}$$

$$X_{кл} = \frac{x_0 \cdot l}{n_{кл}} = \frac{0,081 \cdot 5,7}{1} = 0,46 \text{ Ом}$$

$$X_{K1} = X_c + X_{кл} = 1,103 + 0,46 = 1,563 \text{ Ом}$$

$$R_{K1} = R_c + R_{кл} = 0,044 + 1,4706 = 1,515 \text{ Ом}$$

$$Z_{K1} = \sqrt{R_{K1}^2 + X_{K1}^2} = \sqrt{1,515^2 + 1,563^2} = 2,177 \text{ Ом}$$

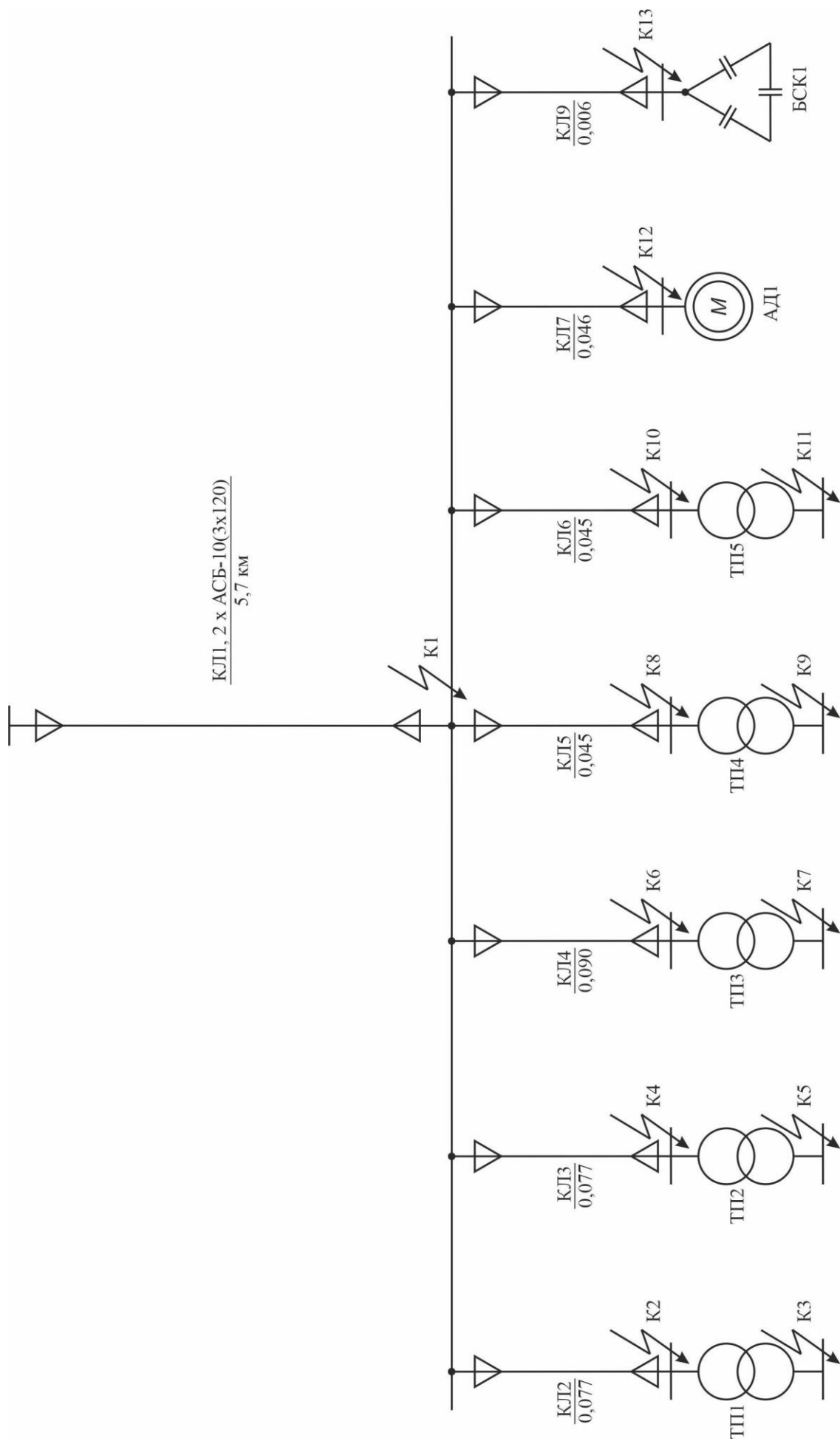


Рис. 6.1. Розрахункова схема

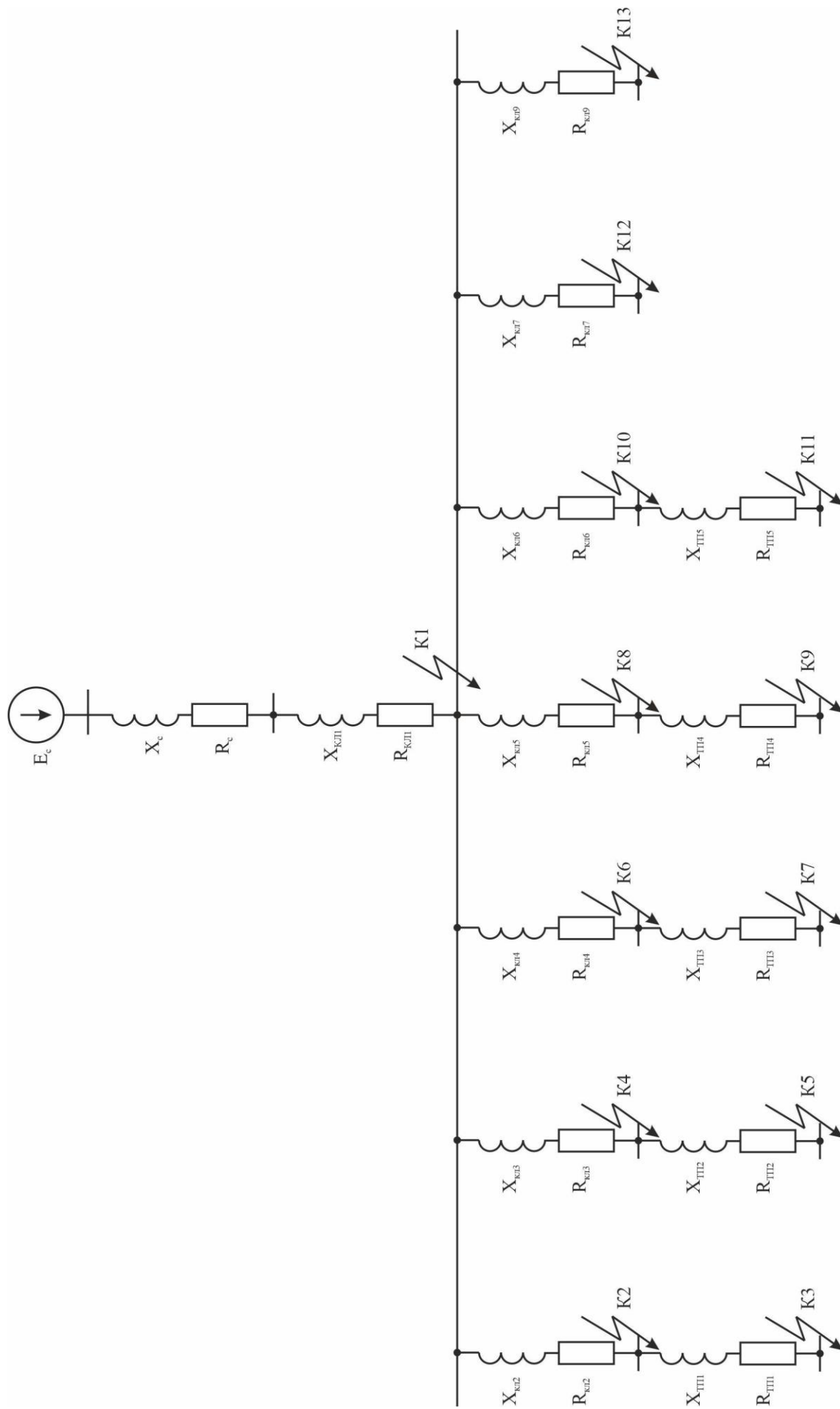


Рис. 6.2. Схема заміщення

Параметри струму к.з. в т. К1:

$$I''_{K1(c)} = \frac{U_{cp.ном.}}{\sqrt{3}Z_{K1}} = \frac{10,5}{\sqrt{3} \cdot 2,177} = 2,78 \text{ кА}$$

$$T_{a1} = \frac{X_{K1}}{\omega R_{K1}} = \frac{1,563}{314 \cdot 1,515} = 0,0033 \text{ с}$$

$$k_{y\partial 1} = 1 + e^{\frac{-0,01}{T_{a1}}} = 1 + e^{\frac{-0,01}{0,0033}} = 1,048$$

$$i_{y\partial 1(c)} = \sqrt{2}k_{y\partial} I''_{K1(c)} = \sqrt{2} \cdot 1,048 \cdot 2,78 = 4,12 \text{ кА}$$

Струм підживлення від АД 10 кВ:

$$S_{ном.} = \frac{P_{ном.}}{\cos\varphi_{ном.} \cdot \eta} = \frac{0,6}{0,9 \cdot 0,92} = 0,725 \text{ МВА}$$

$$X_{АД} = \frac{1}{I_{пуск}} \frac{U_{cp.ном.}^2}{S_{ном.}} = \frac{10,5^2}{5,2 \cdot 0,725} = 29,24 \text{ Ом}$$

$$I''_{K1(АД)} = n_{АД} \frac{E_* \cdot U_{cp.ном.}}{\sqrt{3}X_{АД}} = 2 \cdot \frac{0,9 \cdot 10,5}{\sqrt{3} \cdot 29,24} = 0,37 \text{ кА}$$

$$i_{y\partial 1(АД)} = \sqrt{2}k_{y\partial(АД)} I''_{K1(АД)} = \sqrt{2} \cdot 1,7 \cdot 0,37 = 0,89 \text{ кА}$$

$$I''_{K1} = I''_{K1(c)} + I''_{K1(АД)} = 2,78 + 0,37 = 3,15 \text{ кА}$$

$$i_{y\partial 1} = i_{y\partial 1(c)} + i_{y\partial 1(AD)} = 4,12 + 0,89 = 5,01 \text{ кА}$$

Параметри вибору КЛ1:

$$I_p = \frac{S_p}{n\sqrt{3}U_{cp.ном}} = \frac{882,4}{2 \cdot 1,73 \cdot 10,5} = 24,26 \text{ А}$$

$$B_k = I_{K1}^2 (t_{p.з.min} + T_a) = 3,15^2 (1,365 + 0,0033) = 13,58 \text{ кА}^2 \text{с}$$

$$F_{min} = \frac{1}{C} \sqrt{B_k} = \frac{1}{94} \sqrt{13,58 \cdot 10^3} = 39,2 \text{ мм}^2$$

Обираємо кабель ААШВ-10(3 х 50).

Опір КЛ1:

$$R_{кл} = r_0 \cdot l_{кл} = 0,62 \cdot 0,077 = 0,048 \text{ Ом}$$

$$X_{кл} = x_0 \cdot l_{кл} = 0,09 \cdot 0,077 = 0,007 \text{ Ом}$$

Опори інших ліній наведено в табл. 6.1.

Параметри струму к.з. в т. К2:

$$X_{K2} = X_{K1} + X_{кл} = 1,563 + 0,007 = 1,57 \text{ Ом}$$

$$R_{K2} = R_{K1} + R_{кл} = 1,515 + 0,048 = 1,563 \text{ Ом}$$

$$Z_{K2} = \sqrt{R_{K2}^2 + X_{K2}^2} = \sqrt{1,563^2 + 1,57^2} = 2,215 \text{ Ом}$$

Таблиця 6.1. Розрахунок опорів КЛ

№	Довжина l , км	Пит. опір r_0 , Ом/км	Пит. опір x_0 , Ом/км	Опір R , Ом	Опір X , Ом
1	5,700	0,258	0,081	1,471	0,462
2	0,077	0,620	0,090	0,048	0,007
3	0,077	0,620	0,090	0,048	0,007
4	0,090	0,620	0,090	0,056	0,008
5	0,045	0,620	0,090	0,028	0,004
6	0,045	0,620	0,090	0,028	0,004
7,8	0,046	0,620	0,090	0,029	0,004
9, 10	0,006	0,620	0,090	0,004	0,001

$$I_{K2}'' = \frac{U_{\text{ср.ном.}}}{\sqrt{3}Z_{K2}} = \frac{10,5}{\sqrt{3} \cdot 2,215} = 2,74 \text{ кА}$$

$$T_{a2} = \frac{X_{K2}}{\omega R_{K2}} = \frac{1,57}{314 \cdot 1,563} = 0,0032 \text{ с}$$

$$k_{y\partial 2} = 1 + e^{\frac{-0,01}{T_{a2}}} = 1 + e^{\frac{-0,01}{0,0032}} = 1,044$$

$$i_{y\partial 2} = \sqrt{2}k_{y\partial 2}I_{K2}'' = \sqrt{2} \cdot 1,044 \cdot 2,74 = 4,05 \text{ кА}$$

Опір трансформатора ТМ-630/10:

$$R_{\text{тр}} = \frac{\Delta P_{\kappa} U_{\text{ср.ном.}}^2}{S_{\text{ном.}}^2} = \frac{6,5 \cdot 10,5^2}{630^2} \cdot 10^3 = 1,806 \text{ Ом}$$

$$X_{mp} = \frac{U_{к,\%} U_{ср.ном}^2}{S_{ном}} = \frac{5,5 \cdot 10,5^2}{630} \cdot 10 = 9,625 \text{ Ом}$$

Параметри струму к.з. в т. К3:

$$X_{K3} = (X_{K2} + X_{mp}) \left(\frac{U_{нн}}{U_{бн}} \right)^2 = (1,57 + 9,625) \left(\frac{0,4}{10,5} \right)^2 = 0,0162 \text{ Ом}$$

$$R_{K3} = (R_{K2} + R_{mp}) \left(\frac{U_{нн}}{U_{бн}} \right)^2 = (1,563 + 1,806) \left(\frac{0,4}{10,5} \right)^2 = 0,0049 \text{ Ом}$$

$$Z_{K3} = \sqrt{R_{K3}^2 + X_{K3}^2} = \sqrt{0,0049^2 + 0,0162^2} = 0,0169 \text{ Ом}$$

$$I_{K3}'' = \frac{U_{ср.ном.}}{\sqrt{3} Z_{K3}} = \frac{0,4}{\sqrt{3} \cdot 0,0169} = 13,67 \text{ кА}$$

$$T_{a3} = \frac{X_{K3}}{\omega R_{K3}} = \frac{0,0162}{314 \cdot 0,0049} = 0,0105 \text{ с}$$

$$k_{y\delta 3} = 1 + e^{\frac{-0,01}{T_{a3}}} = 1 + e^{\frac{-0,01}{0,0105}} = 1,386$$

$$i_{y\delta 3} = \sqrt{2} k_{y\delta} I_{K3}'' = \sqrt{2} \cdot 1,386 \cdot 13,67 = 26,79 \text{ кА}$$

Розрахунок струмів к.з. в інших точках наведено в табл. 6.2.

Таблиця .6.3. Вибір КЛ

№	$n_{\text{КЛ}},$ шт	$S_{\text{розр}},$ МВА	$I_{\text{р}},$ А	$I_{\text{р.ав.}},$ А	$B_{\text{к}},$ кА ² с	$F_{\text{min}},$ мм ²	Марка КЛ	$I_{\text{доп}},$ А	$K_{\text{п}}$	$K_{\text{п}} I_{\text{доп}},$ А	$K_{\text{ап}}$	$K_{\text{п}}$	$K_{\text{ап}} K_{\text{п}} I_{\text{доп}}$ п, А
1	2	4537	124,74	249,48	13,58	39,2	2 х АСБ-10(3 х 120)	240	0,9	216	1,35	1	324
2	2	882,4	24,26	48,52	13,58	39,2	2 х ААШВ-10(3х50)	140	0,9	126	1,35	1	189
3	1	441,2	24,26	-	13,58	39,2	1 х ААШВ-10(3х50)	140	1	140	-	-	-
4	2	877,5	24,12	48,24	13,58	39,2	2 х ААШВ-10(3х50)	140	0,9	126	1,35	1	189
5	2	880	24,19	48,38	13,58	39,2	2 х ААШВ-10(3х50)	140	0,9	126	1,35	1	189
6	2	880	24,19	48,38	13,58	39,2	2 х ААШВ-10(3х50)	140	0,9	126	1,35	1	189
7,8	1	600	32,99	-	13,58	39,2	1 х ААШВ-10(3х50)	140	1	140	-	-	-
9, 10	1	450	24,74	-	13,58	39,2	1 х ААШВ-10(3х50)	140	1	140	-	-	-

6.3 Вибір електричних апаратів високої напруги

Розрахункові параметри вибору ввідного вимикача наведені в табл. 6.4.

Таблиця 6.4. Вибір ввідного вимикача

Назва параметру	Умова	Розрах. значення
Номінальна напруга, кВ	$U_{вст} \leq U_{ном}$	$10 \leq 10$
Довготр. струм, кА	$I_{р.ф.} \leq I_{ном}$	$261,94 \leq 630$
Відключаюча здатність: - симетр. струм: - аперіод. склад.: - повний струм:	$I_{нт} \leq I_{в.н.}$ $i_{ат} \leq \sqrt{2}\beta_{ном} I_{в.н.}$ $\sqrt{2}I_{нт} + i_{ат} \leq$ $\leq \sqrt{2}I_{н.в.} (1 + \beta_{ном})$	$3,15 \leq 20$ $0 \leq 11,31$ $1,41 \cdot 3,15 + 0 <$ $< 1,41 \cdot 20 \cdot (1 + 0,4)$ $4,45 \leq 39,6$
Динамічна стійкість: - симетр. струм: - уд. струм:	$I'' \leq I_{д.ст.}$ $i_y \leq 1,8\sqrt{2}I_{д.ст.}$	$3,15 \leq 52$ $5,01 \leq 132,37$
Термічна стійкість	$B_k \leq I_{т.ном}^2 t_{т.ном}$	$12,36 \leq 1200$

$$\tau = t_{пз. min} + t_{с.с} = 0,5 + 0,042 = 0,542 \text{ с}$$

$$i_{ат} = \sqrt{2}I'' e^{\frac{-\tau}{T_a}} = 1,41 \cdot 3,15 \cdot e^{\frac{-0,542}{0,0033}} = 0 \text{ кА}$$

$$B_k = I''^2 (t_{с.с.} + t_{пз. max} + T_a) = 3,15^2 (0,042 + 1,2 + 0,0033) = 12,36 \text{ кА}^2 \text{ с}$$

Обираємо ВР2-10-20/630.

Інші вимикачі обираються аналогічно.

Для обмеження перенапруг обираємо ОПН-10/420/12-УХЛ1.

6.4 Вибір потужності та схем живлення трансформаторів власних потреб

Схема приєднання ТВП до мережі наведена на рис. 6.3.

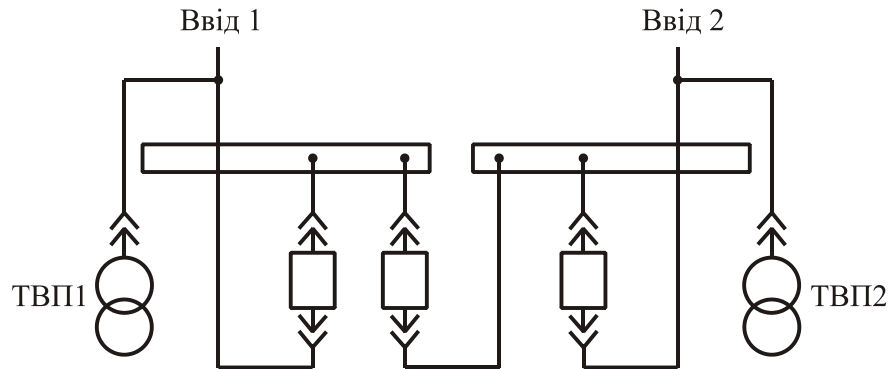


Рис. 6.3. Схема приєднання ТВП до мережі

Таблиця 6.5. Розрахунок електр. навант. ТВП

№	Назва споживача	P _н , кВт	n, шт.	P _Σ , кВт	cosφ	tgφ	P _{вст} , кВт	Q _{вст} , квар
1.	Пристрої підігріву комірок КРП	0,6	22	13,2	0,97	0,25	13,2	3
2.	Приміщення персоналу	6	3	18	0,97	0,25	18	5
3.	Зовнішнє освітлення	4,5	4	18	0,97	0,25	18	5
4.	Оперативні кола	4,5	4	18	0,97	0,25	18	5
Всього							67,2	18

Сумарне електр. навант. ТВП:

$$S_{\text{вст}} = \sqrt{P_{\text{вст}}^2 + Q_{\text{вст}}^2} = \sqrt{67,2^2 + 18^2} = 69,57 \text{ кВА}$$

втратах у меншому магнітопроводі.

Багаторівневі топології (multilevel) дозволяють формувати вихідну напругу з покращеними гармонічними характеристиками, зменшуючи коефіцієнт гармонічних спотворень до 2-3%. Каскадні H-bridge інвертори забезпечують модульність та резервування на рівні окремих силових модулів.

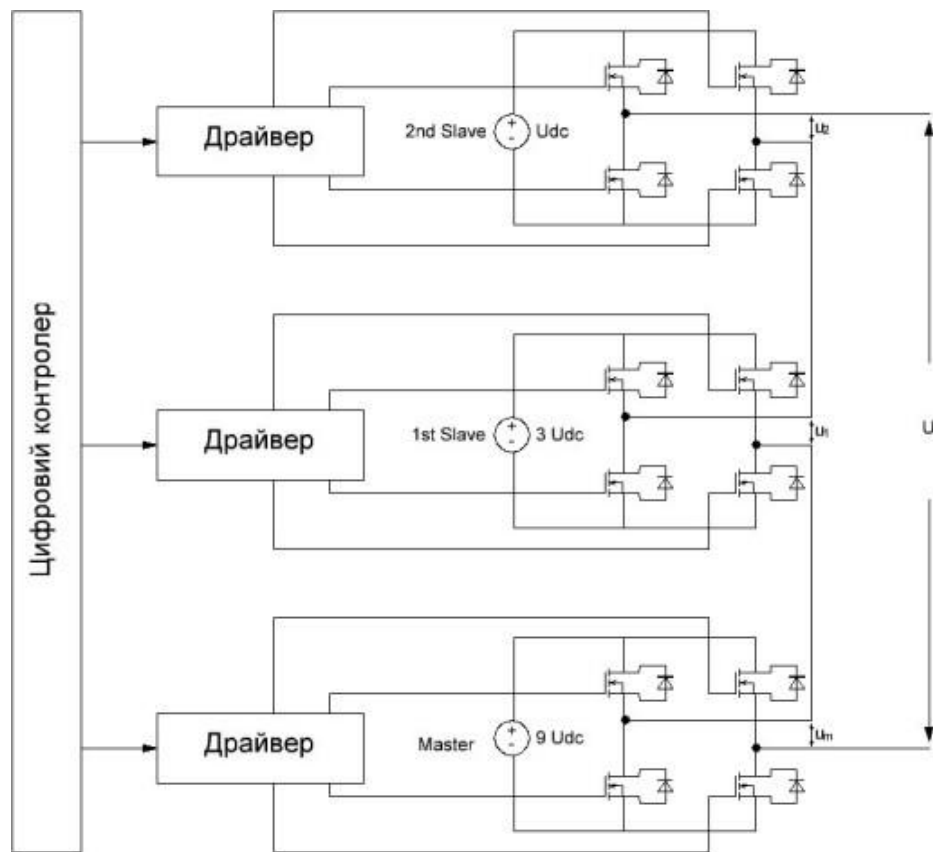
Широкий діапазон вхідної напруги (MPPT range) від 150 до 800В дозволяє оптимально конфігурувати струнки панелей залежно від архітектури об'єкта. Двонаправлені перетворювачі забезпечують можливість як генерації в мережу, так і заряду накопичувачів від мережевого живлення.

Алгоритми активного PFC (Power Factor Correction) підтримують коефіцієнт потужності на рівні 0,99 навіть при змінній генерації сонячних панелей. Система anti-islanding захищає мережу від неконтрольованого живлення при аваріях, відключаючи інвертор протягом 0,1-2 секунд після зникнення мережевої напруги.

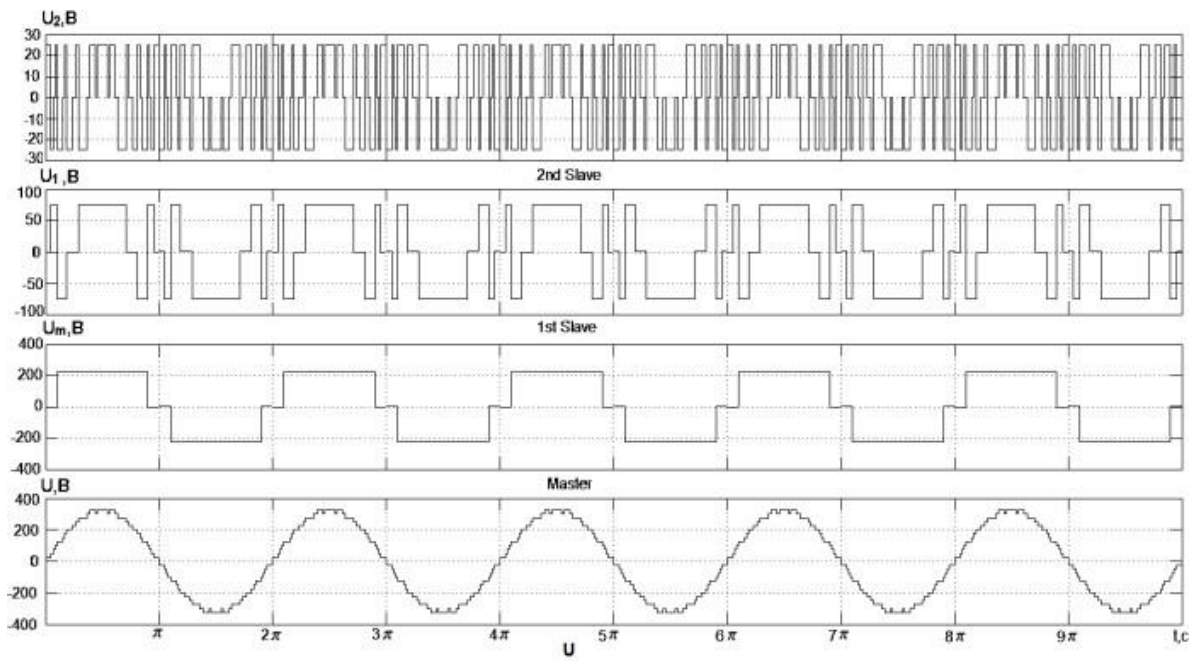
Серед численних інверторів, побудованих на з'єднанні H-мостових модулів з коефіцієнтом трансформації m , розрізняють конфігурації: з індивідуальними джерелами живлення для модулів та з єдиним спільним джерелом.

Каскадні багаторівневі інвертори (Cascaded H-Bridge MLI) з індивідуальними джерелами живлення для кожного H-мостового модуля забезпечують найвищу гнучкість та надійність системи. Кожен модуль підключається до власного DC-джерела, що може бути окремою струнгою сонячних панелів, акумуляторним блоком або ізольованим виходом DC/DC перетворювача.

Перевагами такої архітектури є повна гальванічна ізоляція між рівнями, можливість незалежного MPPT-трекінгу для кожної струнки панелей та продовження роботи системи навіть при виході з ладу окремих модулів. Кількість рівнів вихідної напруги визначається за формулою: $N = 2m + 1$, де m - кількість H-мостів.



a)



б)

Рис. 7.8. Каскадний інвертор з 3-ма відокремленими джерелами живлення

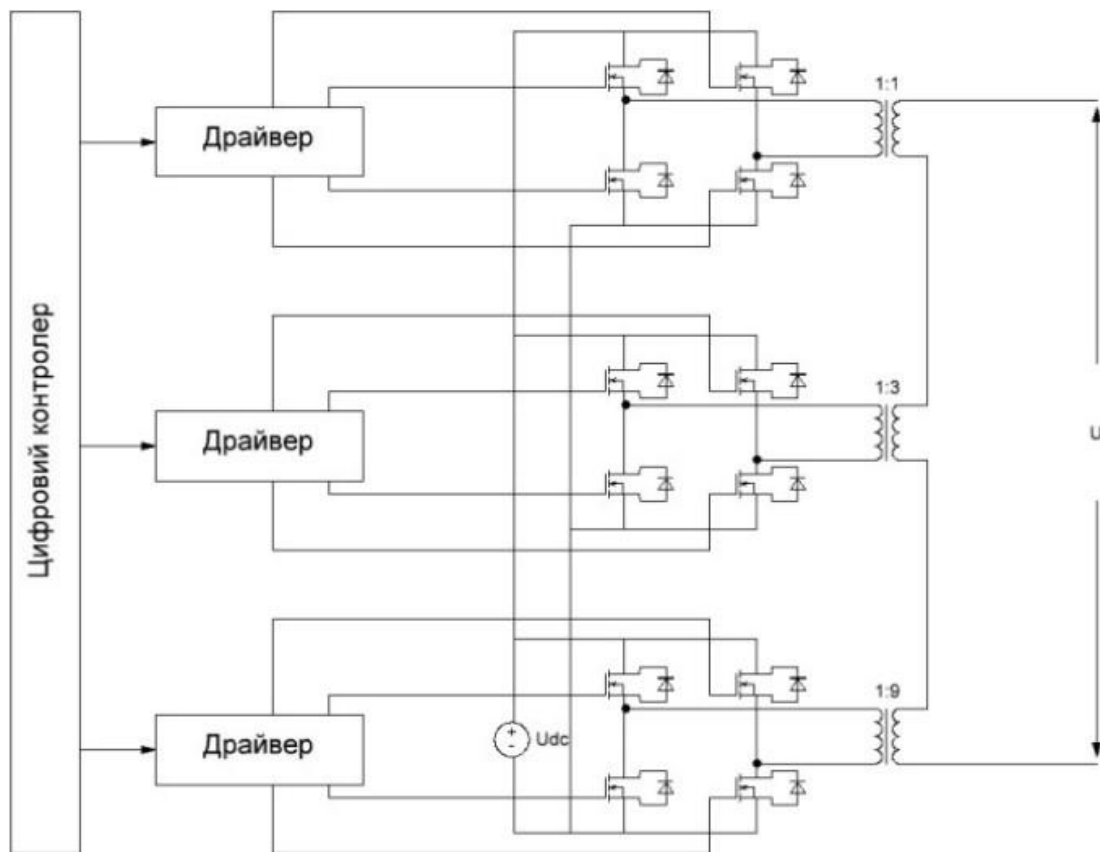


Рис. 7.9. Багаторівневий перетворювач з 1 джерелом постійної напруги і вихідними трансформаторами

Єдине DC-джерело живлення підключається до групи однофазних H-мостових інверторів, кожен з яких працює з власним вихідним трансформатором. Коефіцієнти трансформації обираються за геометричною прогресією: 1:1, 1:2, 1:4, що дозволяє формувати 2^n рівнів вихідної напруги при використанні n трансформаторів.

Вторинні обмотки трансформаторів з'єднуються послідовно для отримання сумарної вихідної напруги. Різні комбінації полярності підключення обмоток дозволяють формувати ступінчасту синусоїдальну напругу з мінімальними гармонічними спотвореннями.

Гальванічна ізоляція між первинною та вторинною сторонами забезпечує електробезпеку та можливість заземлення як DC, так і AC частин системи. Трансформатори також виконують функцію узгодження рівнів напруги між низьковольтною DC-ланкою та високовольтним AC-виходом.

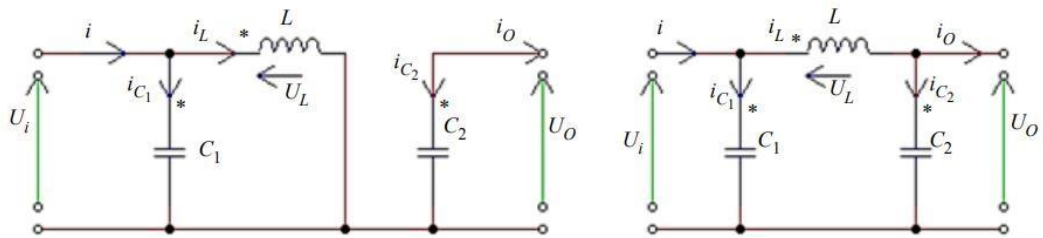


Рис. 7.12. Режимы работы підвищуючого перетворювача

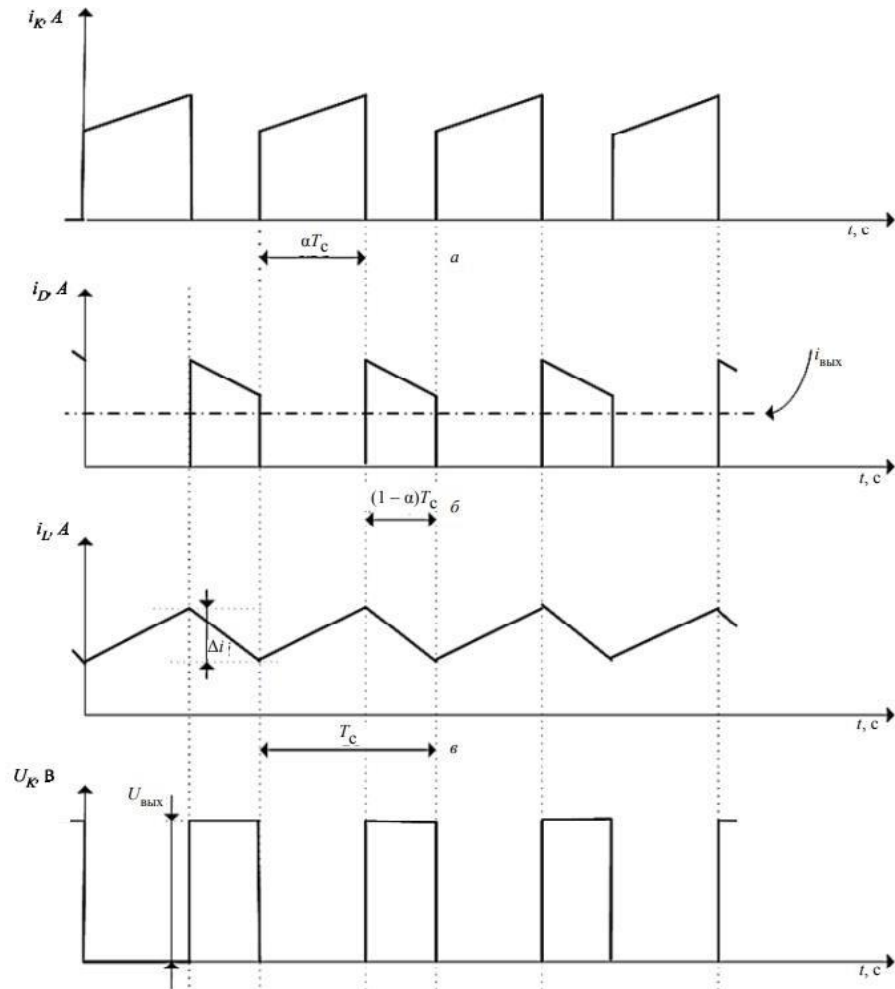


Рис. 7.13. Діаграми роботи підвищуючого перетворювача

Проведемо аналіз математичної моделі сонячної електростанції з інвертором, схема якого зображена на рис. 7.14.

$$i_C = i_d - i_H \quad (7.7)$$

Звідки:

$$C \frac{dU_C}{dt} = S_A i_A + S_B i_B + S_C i_C - i_H \quad (7.8)$$

Для окремих фаз отримаємо рівняння:

$$\begin{aligned} L_A \frac{di_A}{dt} + Ri_A &= e_A - U_C \left(S_A - \frac{1}{3} \sum_{n=a}^c S_n \right) \\ L_B \frac{di_B}{dt} + Ri_B &= e_B - U_C \left(S_B - \frac{1}{3} \sum_{n=a}^c S_n \right) \\ L_C \frac{di_C}{dt} + Ri_C &= e_C - U_C \left(S_C - \frac{1}{3} \sum_{n=a}^c S_n \right) \end{aligned} \quad (7.9)$$

Перетворимо рівняння (7.3) в систему координат a-b:

$$\begin{aligned} u_\alpha &= \sqrt{\frac{3}{2}} E_m \sin(\omega t) \\ u_\beta &= \sqrt{\frac{3}{2}} E_m \cos(\omega t) \\ \begin{bmatrix} u_d \\ u_q \end{bmatrix} &= \begin{bmatrix} \sqrt{\frac{3}{2}} E_m \\ 0 \end{bmatrix} = \begin{bmatrix} \sqrt{u_\alpha^2 + u_\beta^2} \\ 0 \end{bmatrix} \\ \begin{bmatrix} u_d \\ u_q \end{bmatrix} &= R \begin{bmatrix} i_d \\ i_q \end{bmatrix} + L \frac{d}{dt} \begin{bmatrix} i_d \\ i_q \end{bmatrix} - \omega L \begin{bmatrix} i_d \\ -i_q \end{bmatrix} + \begin{bmatrix} u_{nd} \\ u_{nq} \end{bmatrix} \end{aligned} \quad (7.10)$$

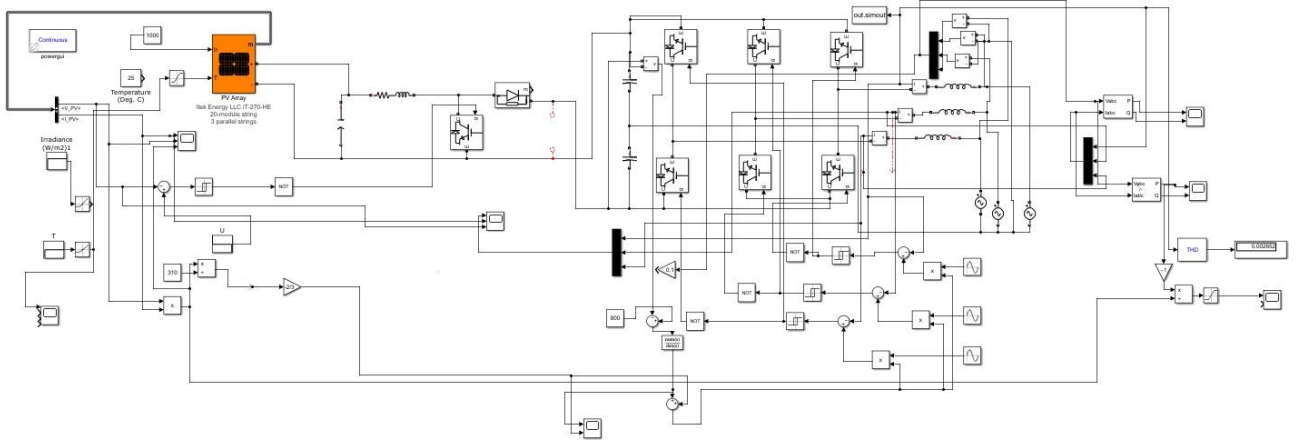


Рис. 7.14. модель сонячної електростанції в системі Matlab/Simulink

Діаграми взаємозв'язку між струмом і напругою, а також потужністю та напругою досліджуваного фотоелектричного модуля за варіативних температурних режимів при сталому рівні освітлення представлені на рисунку 7.15.

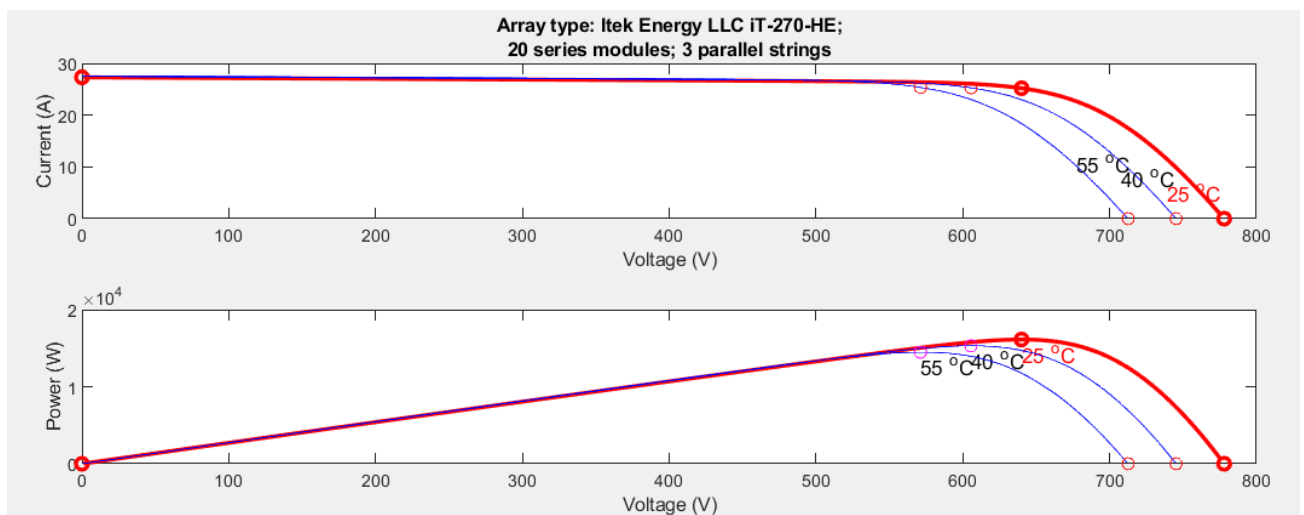


Рис. 7.15. Діаграми взаємозв'язку між струмом і напругою, а також потужністю та напругою досліджуваного фотоелектричного модуля

Аналіз вольт-амперних характеристик (ВАХ) сонячних панелей демонструє критичний вплив температури на ефективність перетворення сонячної енергії. Зі зростанням температури спостерігається зменшення напруги холостого ходу (V_{oc}), що становить приблизно $-0,33\%$ на кожен градус Цельсія для кристалічного кремнію.

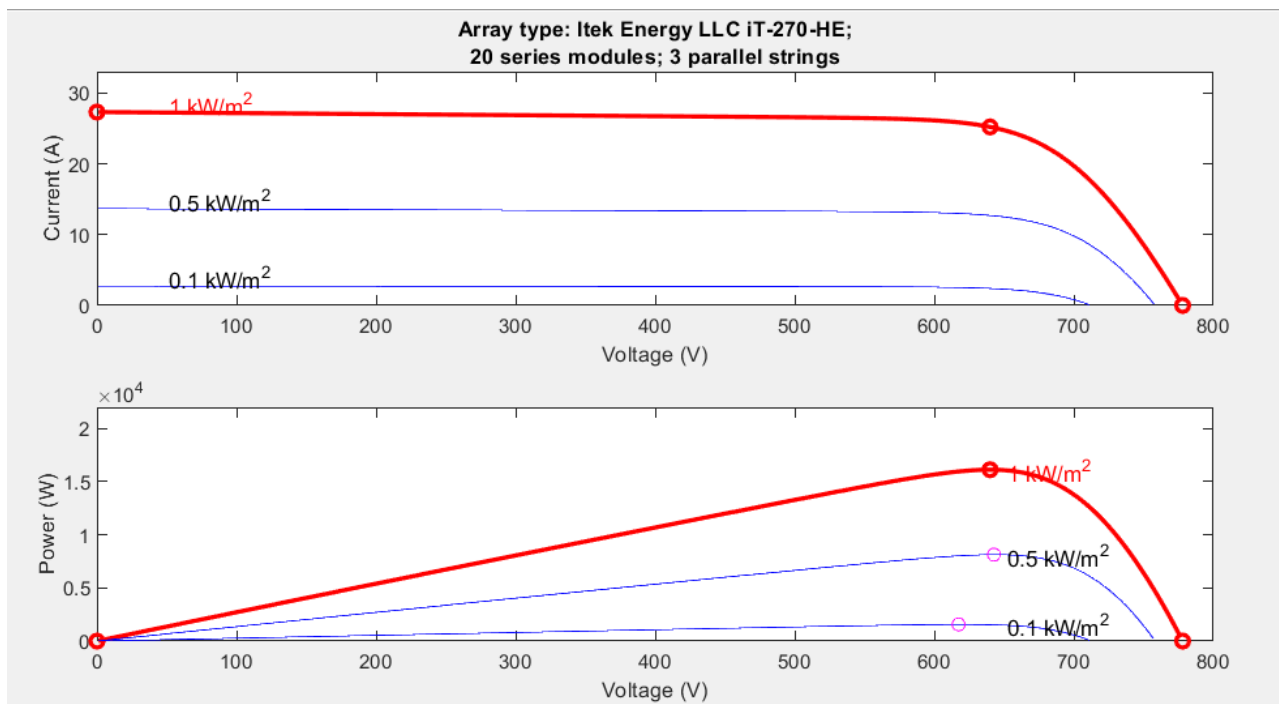


Рис. 7.16. Графіки роботи при постійній температурі

Максимальна потужність панелі майже лінійно залежить від рівня сонячної радіації. Стандартні тестові умови (STC) передбачають освітленість 1000 Вт/м^2 , температуру 25°C та спектральний розподіл AM1.5. За реальних умов експлуатації освітленість коливається від $100\text{-}200 \text{ Вт/м}^2$ у хмарну погоду до $1200\text{-}1400 \text{ Вт/м}^2$ в ясні дні.

Коефіцієнт заповнення зменшується при низьких рівнях освітленості через зростання впливу опорів витоку та рекомбінаційних втрат. Це особливо критично для роботи панелей у розсіяному світлі або в ранкові/вечірні години.

MPPT-контролери повинні враховувати ці характеристики для ефективного відслідковування оптимальної робочої точки за змінних умов освітлення протягом доби та різних погодних умов.

Результати моделювання приведені на рис. 7.17.

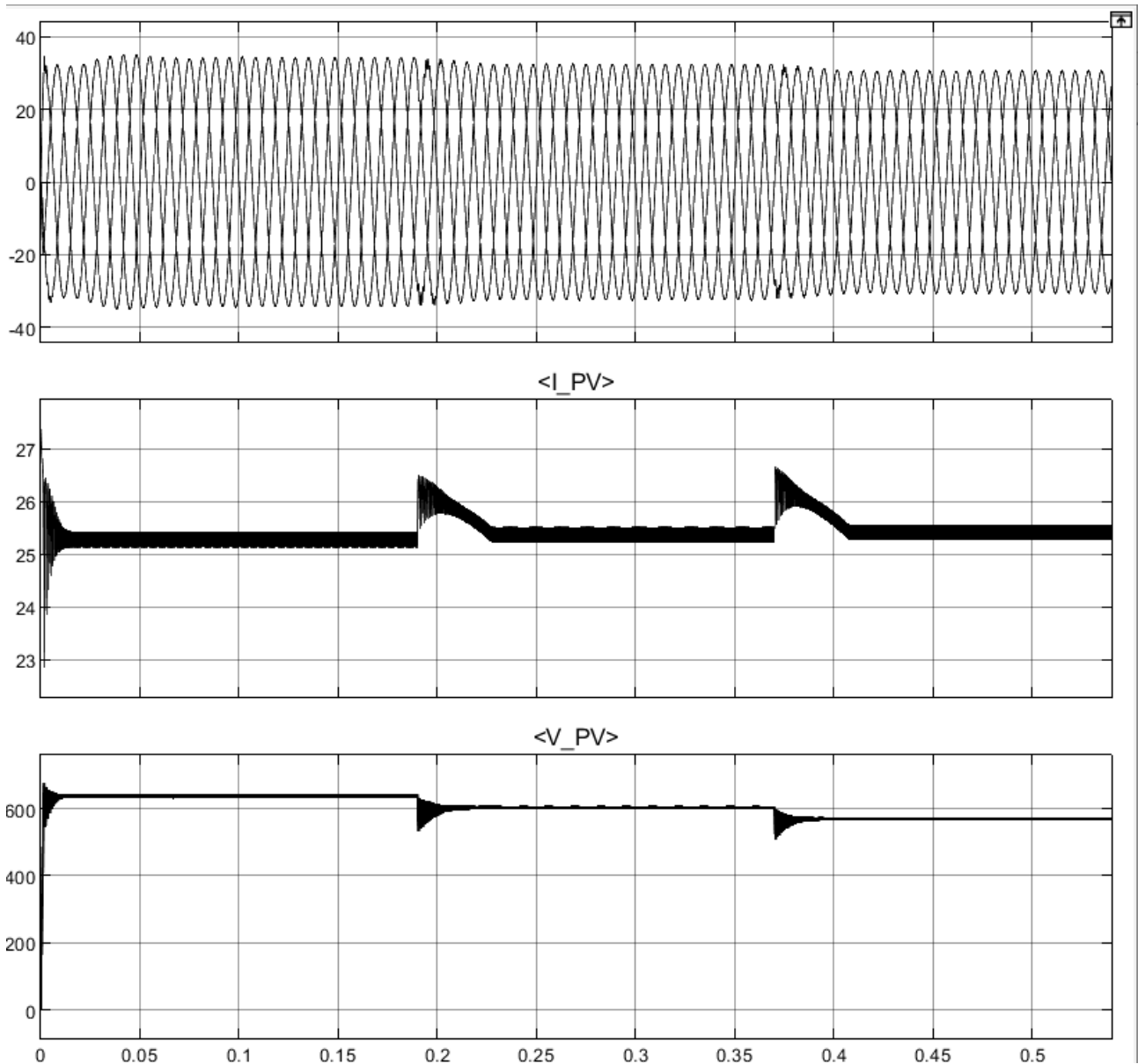


Рис. 7.17. Результати комп'ютерного моделювання сонячної електростанції

Струм, що передається до електромережі, має синусоїдальну форму, а за температурних коливань система управління визначає оновлені параметри напруги для забезпечення максимального енергозбору.

Здійснений аналіз продемонстрував, що в усіх експлуатаційних режимах коефіцієнт гармонічних спотворень становить 2,6%, що повністю задовольняє нормативні вимоги щодо якості електричної енергії.

Досягнення такого низького рівня КГС свідчить про високу ефективність застосованих алгоритмів широтно-імпульсної модуляції в інверторі. Міжнародні

